

磁化된 $\text{SrO}\cdot\text{6Fe}_2\text{O}_3$ Ceramics 界面에서 帶電된 Colloid

半導體의 電位障壁 清掃效果

(The Potential Barrier Scavenging Effects of the Charged Colloidal Semiconductors at the Magnetized $\text{SrO}\cdot\text{6Fe}_2\text{O}_3$ Ceramics Interfaces)

千 長 鋒*

(Jang Ho Chun)

要 約

磁化된 $\text{SrO}\cdot\text{6Fe}_2\text{O}_3$ 세라믹스와 (10^{-3}M KCl+p-Si 분말) 懸濁液 界面 및 (10^{-4}M CsNO_3 +n-GaAs 분말) 혼탁액 계면에서 循環電壓圖 特성을 極小電氣泳動 및 순환전압 방법을 사용하여 연구조사 하였다. 處女 및 磁化된 $\text{SrO}\cdot\text{6Fe}_2\text{O}_3$ 세라믹스 표면에는 特異한 陰이온의 흡착이 있다. p-Si와 n-GaAs를 로이드 반도체의 zeta 電位는 각각 +41mV와 -44.8mV이다. 磁化된 $\text{SrO}\cdot\text{6Fe}_2\text{O}_3$ 계면에서 磁化效果는 電位障壁과 같은 역할을 한다. 處女 $\text{SrO}\cdot\text{6Fe}_2\text{O}_3$ 계면에서 陽으로 帶電된 p-Si 콜로이드 반도체와 陰으로 帶電된 n-GaAs 콜로이드 반도체는 모두 전위장벽과 같은 역할을 한다. 반면에 磁化된 $\text{SrO}\cdot\text{6Fe}_2\text{O}_3$ 계면에서 대전된 p-Si와 n-GaAs 콜로이드 반도체는 전위장벽 清掃劑와 같은 역할을 한다. 磁化효과와 대전된 콜로이드 반도체 효과는 非可逆的이며 相互依存的이다.

Abstract

The cyclic voltammogram characteristics at the magnetized $\text{SrO}\cdot\text{6Fe}_2\text{O}_3$ ceramics/ $(10^{-3}\text{M}$ KCl + p-Si powders) and $/(10^{-4}\text{M}$ CsNO_3 + n-GaAs powders) suspension interfaces have been studied using the microelectrophoresis and the cyclic voltammetric method. The negatively charged ions are specifically adsorbed on the virgin and the magnetized $\text{SrO}\cdot\text{6Fe}_2\text{O}_3$ ceramics surfaces. The zeta potentials of the p-Si and n-GaAs colloidal semiconductors are +41mV and -44.8mV, respectively. The magnetization effects act as potential barriers at the magnetized $\text{SrO}\cdot\text{6Fe}_2\text{O}_3$ interfaces. The positively charged p-Si and the negatively charged n-GaAs colloidal semiconductors act as potential barriers at the virgin $\text{SrO}\cdot\text{6Fe}_2\text{O}_3$ interfaces. On the other hand, the charged p-Si and n-GaAs colloidal semiconductors act as potential barrier scavengers at the magnetized $\text{SrO}\cdot\text{6Fe}_2\text{O}_3$ interfaces. The magnetization effects and the charged colloidal semiconductor effects are irreversible and interdependent.

I. 序 論

*正會員, 光云大學校 電子工學科
(Dept. of Elec. Eng., Kwangwoon Univ.)
接受日字 : 1991年 12月 12日

電子 세라믹스(ceramics)의 일반적인 특성은 금속이나 반도체에 비교하여 우수한 화학적 안정성, 多孔性효과, 높은 抵抗性 등을 들 수 있다. $\text{SrO}\cdot\text{6Fe}_2\text{O}_3$,

는 MO·6Fe₂O₃系 (M은 Sr, Ba 등을 의미) 세라믹스로서 PbFe₁₂O₁₉와 비슷한 구조를 가지고 있으며 磁化시 매우 높은 抗磁力 특성 때문에 주로 영구자석의 素材로 사용되어 왔다.^[1,2] 따라서 SrO·6Fe₂O₃와 水性電解質 계면의 전기물리적 현상에 관한 연구보고는 상대적으로 적었다고 생각된다.^[3] 또한 대전된 콜로이드(colloid) 반도체 계면현상^[4-6] 콜로이드 반도체가 전해질 계면에서 광전효과에 미치는 영향 등에 관한 연구보고는^[7-9] 있었으나 대전된 콜로이드 반도체가 處女 및 磁化된 SrO·6Fe₂O₃ 계면현상에 미치는 영향 및 효과에 관한 연구보고는 없었다고思料된다. 磁性體의 hysteresis 환상곡선에 상응하는 계면의 순환전압도는 전기물리 및 화학적 현상을 이해하고 해석하는데 매우 有用하다. 또한 물리화학, 콜로이드 및 재료과학, 표면물리 및 생리학 분야에 중요하게 이용되는 極小電氣泳動(microelectrophoresis) 방법은 대전된 콜로이드 반도체의 zeta 電位, 電氣泳動 移動度 極性, 표면전하 종류 등을 연구조사하는데 응용될 수 있다. 따라서, 본 실험 논문에서는 處女 및 磁化된 SrO·6Fe₂O₃, 계면에서 대전된 콜로이드 반도체가 전위장벽에 미치는 영향과 효과를 극소전기영동 및 循環電壓(cyclic voltammetry) 방법을 사용하여 연구조사하려고 한다. 연구 결과는 學際間 기초연구자료 제시는 물론, 전기이중층 구조를 가지는 태양에너지 변환장치 및 분자 전자소자, 전자표시기, 다공성 효과를 응용할 수 있는 전자 세라믹스 濕氣感知機, 반도체 콜로이드과학, 생리학 분야 등의 연구개발에 도움이 될것을 기대한다.

II. Zeta電位와 Lorentz電磁力

전해질내에 浮遊하는 반도체 微粒子($\sim \mu\text{m}$) 표면에는 전기화학적 위치에너지 差에 따른 이온과 전하의 이동이 平衡狀態가 될때까지 있게 된다. 따라서, 반도체 미립자 표면에는 이온의 흡착과 확산 분포가 있게 되어 $\text{\AA}\cdot\mu\text{m}$ 크기를 갖는 전기이중층이 형성된다. 대전된 반도체 미립자는, 즉 콜로이드 반도체는 외부에서 인가된 전계 크기에 비례하여 漂移운동을 시작하여 電氣力과 전해질의 粘性力이 평형을 이룰 때 定常狀態가 되며 이러한 電氣力動學的 관계를 극소전기영동이라고 한다. 이때漂移(migration) 운동을 하는 대전된 콜로이드 반도체가 接하는 전해질의 最端面, 즉 벌크(bulk) 전해질에 대한 대전된 콜로이드 반도체의 相對漂移速度가 零이 되는 面을 前斷面(shear plane)이라고 한다. 전기력동학 관점에서 전단면과 벌크전해질 사이의 電位差를 zeta(ζ) 電位

라고 정의한다. Helmholtz-Smoluchowski 방정식에 의하면 대전된 콜로이드 반도체의 zeta전위는 모양에 상관없이 다음과 같이 주어진다.^[10,11]

$$\zeta = \frac{\eta \mu}{\epsilon} \quad (1)$$

여기서 ζ 는 전단면에서 zeta전위, η 는 전해질의 粘性度, μ 는 전기영동 이동도, ϵ 는 전해질의 誘電常數이다.

일반적으로 대전된 原子系 粒子, 즉 전자 또는 이온 등은 인가된 電界 및 磁界에 의하여 加速 및 偏向시킬 수 있다. 電磁界내에서 實驗電荷 q 에 작용하는 Lorentz 힘은 다음과 같이 주어진다.

$$\vec{F} = q(\vec{E} + \vec{v} \times \vec{B}) \quad (2)$$

여기서 q 는 電子 電荷量의 절대치, \vec{E} 는 電界세기, \vec{v} 는 移動電荷의 속도, \vec{B} 는 磁束密度이다.

III. 實驗 및 測定

1. 試片 및 懸濁液(suspension)

處女 및 磁化된 SrO·6Fe₂O₃試片(500~840G) 계면에서 순환전압도의 對稱性 및 線形性과 多孔性 효과를 실험하기 위하여 $10^{-3}\text{M H}_2\text{SO}_4$ 수성전해질(pH: 1.2, 比導度: 43.4mU/cm)과 종류수(pH:6, 비전도도: 1.28mU/cm)를 각각 사용하였다. 또한 磁化된 SrO·6Fe₂O₃ 계면에 대전된 콜로이드 반도체가 전위장벽에 미치는 영향과 효과를 연구 조사하기 위하여 boron($2.2 \times 10^{15}/\text{cm}^3$)으로 도핑(doping)된 p-Si wafer, silicon($1.0 \times 10^{18}/\text{cm}^3$)으로 도핑된 n-GaAs wafer, 10^{-3}M KCl 수성전해질(pH:5.6, 비전도도: $147\mu\text{U}/\text{cm}$), 10^{-4}M CsNO_3 수성전해질(pH:6.0, 비전도도: $17.3\mu\text{U}/\text{cm}$)을 사용하였다. 대전된 반도체 미립자, 즉 콜로이드 반도체를 만들기 위하여 p-Si 및 n-GaAs wafer를 각각 alumina 세라믹스 乳鉢로 3시간 정도 研磨하여 粉末을 만든 後 500눈網($25\mu\text{m}$)을 가진 표준체(sieve)로 걸렀다. 실험에 사용된 혼탁액은 10^{-3}M KCl 수성전해질내에 p-Si 분말($0.1\text{g}/1000\text{ml}$)을, 10^{-4}M CsNO_3 수성전해질내에 n-GaAs 분말($0.1\text{g}/600\text{ml}$)을 각각 부유시켜 24시간 정도 진탕(shaking) 하였다. 진탕된 혼탁액 비전도도는 미국 Cole Parmer社의 溶液用 비전도도 측정기(1480-00)로 측정하였으며 혼탁액을 만들기 전의 비전도도와 동일하였다. 换言하면, 부유된 p-Si 및 n-GaAs 반도체 미립자의 分解 또는 溶解효과 등을 무시할 수 있다.

2. 측정방법

현탁액내에 부유하는 대전된 반도체 미립자의 zeta전위는 영국 Rank Brother社 Mark II 극소전기영동 장치를 사용하여 측정하였다. 측정방법과 과정은 참고문헌^[4-6]에 상세하게 서술되어 있으므로 생략한다. $10^{-3}M KCl$ 수성전해질 내에서 부유하는 p-Si미립자의 평균 전기영동 이동도는 $+3.2 \times 10^{-4} cm^2/V \cdot s$ 이며 相應하는 zeta전위는 式(1)로부터 $+41mV$ 이다. 反面에, $10^{-4}M CsNO_3$ 수성전해질 내에서 부유하는 n-GaAs 미립자의 평균 전기영동 이동도는 $-3.5 \times 10^{-4} cm^2/V \cdot s$ 이며 상응하는 zeta전위는 $-44.8mV$ 이다. 따라서, 陽과 陰으로 대전된 p-Si와 n-GaAs 콜로이드는 각각 電磁界 내에서 式(2)로 표시되는 Lorentz 電磁力에 의하여 가속 및 편향될 수 있다.

處女 및 磁化된 $SrO \cdot 6Fe_2O_3$ 시편 계면에서 전류 - 전압 특성, 즉 連續循環電壓圖를 얻기 위하여 그림1과 같은 標準 3-電極 구성을 하여 常溫의 암실 내에서 실험을 수행하였다. 표준 3- 전극으로는 處女 및 磁化된 $SrO \cdot 6Fe_2O_3$ 시편을 일電極(WE:working electrode), SCE(saturated calomel electrode)를 基準電極(RE:reference electrode), 백금(Pt)을 相對電極(CE:counter electrode)으로 각각 사용하였다. 전극전압은 미국 PINE社 RDE4 三端子線形電位計를 사용하여 연속 순환적으로 조정하였다. 특히 세면에 형성된 전기이중층의 電氣容量 효과에 의한 充電電流 영향을 最小화하기 위하여 비교적 낮은 스캔率(scan rate)인 $10mV/s$ 로 조정하였다. 측정되는 연속 순환전압도는 미국 Houston社 2000 X-Y 기록계를 사용하여 図示하였다.

IV. 結果 및 考察

式(2)로 표시되는 Lorentz 電磁力은 vector量인 자속밀도(\vec{B})의 영향을 받으므로 磁化된 $SrO \cdot 6Fe_2O_3$ 전극의 磁極位置는 그림1의 순환전압도가 보여주는 것처럼 실험 결과의 再現과 一貫된 比較解釈을 위하여 반드시 고려될 사항이다. 따라서 앞으로 해석되는 모든 실험결과는 磁化효과의 차이를 최대로 나타내기 위하여 그림1(a)에 図示된 磁極배치에 따른다. 그림2는 $10^{-1}M H_2SO_4$ 수성전해질 계면에서 $SrO \cdot 6Fe_2O_3$ 전극의 磁化효과를 보여준다. 순환전압도가 보여주는 대칭성과 선형성은 陽極 및 陰極過程이 평형적으로 진행되며 계면에 형성된 전기이중층의 전기용량 효과도 무시할 수 있음을 의미한다. 그림3과 4는 전해질濃度가 매우 낮은 $10^{-4}M CsNO_3$ 수성전해질과 중류수(double deionized water)에서 $SrO \cdot 6$

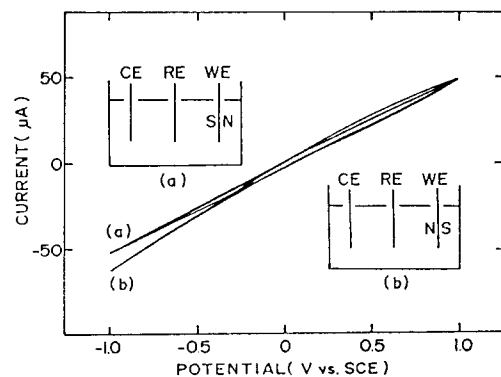


그림 1. 자화된 $SrO \cdot 6Fe_2O_3$ 일전극의 자극 배치효과(스캔율: $10mV/s$, 5번째 스캔, 표면적: $5.5cm^2$)

Fig. 1. The effect of the magnetic pole configurations of the magnetized $SrO \cdot 6Fe_2O_3$ working electrodes (scan rate: $10mV/s$, 5th scan, surface area: $5.5cm^2$).

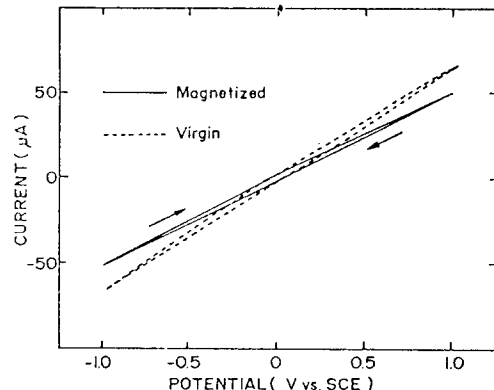


그림 2. $10^{-1}M H_2SO_4$ 수성전해질 계면에서 자화효과(스캔율: $10mV/s$, 5번째 스캔, 표면적: $5.5cm^2$)

Fig. 2. The effect of the magnetization at the $10^{-1}M H_2SO_4$ aqueous electrolyte interfaces (scan rate: $10mV/s$, 5th scan, surface area: $5.5cm^2$).

Fe_2O_3 전극의 磁化효과를 각각 보여준다. 그림 2의 경우와는 對照的으로 非對稱性과 非線形性이 陽極과정에서 深化되는 현상은 處女 및 磁化된 $SrO \cdot 6Fe_2O_3$ 전극표면에 음이온의 非靜電氣的 흡착, 즉 特異(specific) 吸着 과정에 기인한다고 해석된다. 이러한 特異吸着은 외부에서 인가되는 양 또는 음전압의 영향을 받지 않고 전기이중층내에 Helmholtz 이중층

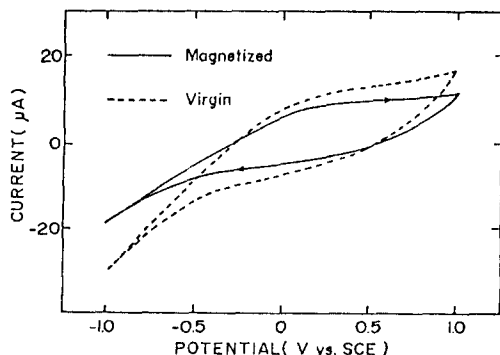


그림 3. 10^{-4}M CsNO_3 수성전해질 계면에서 자화효과
(스캔율: 10mV/s , 5번째 스캔, 표면적:
 5.5cm^2)

Fig. 3. The effect of the magnetization at the 10^{-4}M CsNO_3 aqueous electrolyte interfaces (scan rate: 10mV/s , 5th scan, surface area: 5.5cm^2).

을 구성하여 전위장벽 및 전기용량 효과를 나타내므로, 전류변화는 鈍化되며 循環電壓圖 環狀閉曲線의 면적도 넓게 퍼지는 특성을 나타낸다. 그림2, 3, 4로부터 磁化효과, 즉 磁氣抵抗, Hall 효과, 계면에서 이온 偏向運動 등은 계면통과 전류를 抵下시키는 전위장벽으로 작용한다고 해석할 수 있다. 그림5는 處女 및 磁化된 $\text{SrO}\cdot\text{Fe}_2\text{O}_3$ 전극 계면에서 세라믹스 다공성 특성이 전기저항성에 미치는 효과^[2] 즉 전극전류변화를 잘 보여준다. 그림5로부터 磁化과정은 다공성 효과에 큰 영향을 미치지 못하며 증류수 경우

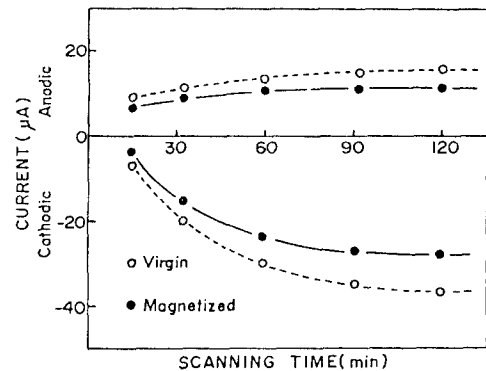


그림 5. 증류수 (H_2O) 계면에서 전극전류 변화
(스캔율: 10mV/s , 연속 스캔, 전류측정: 1V
및 -1V vs. SCE, 표면적: 5.5cm^2)

Fig. 5. The variation of the electrodic currents at the double deionized water (H_2O) interfaces (scan rate: 10mV/s , continuously scanned, current measured: 1V and -1V vs. SCE, surface area: 5.5cm^2).

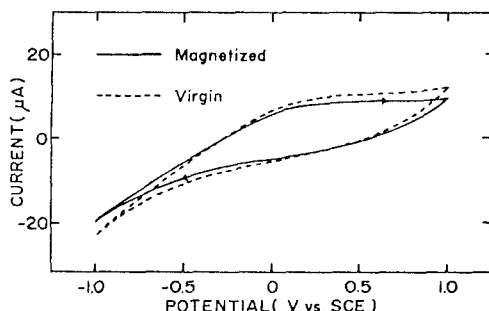


그림 4. 증류수 (H_2O) 계면에서 자화효과(스캔율:
 10mV/s , 5번째 스캔, 표면적: 5.5cm^2)

Fig. 4. The effect of the magnetization at the double deionized water (H_2O) interfaces (scan rate: 10mV/s , 5th scan, surface area: 5.5cm^2).

에도 음이온의 特異吸着으로 양극전류변화는 완만함을 알 수 있다. 환연하면, 磁化효과는 세라믹스 시편의 氣孔크기, grain의 크기 및 배열과 같은 微小構造 (microstructure)에는 영향을 미치지 않는다. 그림6은 處女 $\text{SrO}\cdot\text{Fe}_2\text{O}_3$ 전극 계면에서 양으로 대전된 p-Si 콜로이드 반도체의 효과를 보여준다. 즉 양으로 대전된 p-Si 콜로이드 반도체는 계면에서 遮弊 또는 전위장벽 작용을 하여 양극 및 음극전류가 균등하게 저하되는 순환전압도 특성을 나타내게 한다. 반면에 그림7은 磁化된 $\text{SrO}\cdot\text{Fe}_2\text{O}_3$ 전극 계면에서 양으로 대전된 p-Si 콜로이드 반도체가 전위장벽 清掃 (scavenging) 作用을 하고 있음을 보여준다. 계면에서 전위장벽 작용을 하는 이온들, 즉 靜電氣的으로 전기이중층내에 吸着 및 誘導된 이온들은 양으로 대전된 p-Si 콜로이드 반도체의 電磁氣的 운동에 의하여 전기 이중층으로부터 청소된다고 해석할 수 있다. 그림8은 磁化된 $\text{SrO}\cdot\text{Fe}_2\text{O}_3$ 전극 계면에서 음으로 대전된 n-GaAs 콜로이드 반도체도 그림7과 같은 계면 전위장벽 청소작용을 하고 있음을 보여준다. 대전된 p-Si 및 n-GaAs 콜로이드 반도체의 매우 낮은 전기영동 이동도 ($\sim 10^{-4}\text{cm}^2/\text{V}\cdot\text{s}$)와 相對的으로 높은 자속밀도 (500~840G)를 고려하면 Lorentz 電磁力은 電界에 의한 電氣力보다는 磁界에 의한 磁氣力에 의하여 결정된다고 추정할 수 있다. 그림 3, 4, 6, 7, 8이 보여주는 공통적 특징은 10^{-3}M KCl 및 10^{-4}M

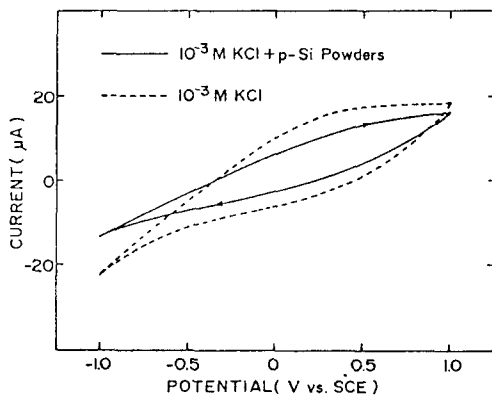


그림 6. 처녀 $\text{SrO}\cdot6\text{Fe}_2\text{O}_3$ 계면에서 양으로 대전된 p-Si 콜로이드의 전위장벽 효과(스캔율: 10mV/s, 5번째 스캔, 표면적: 5.5cm²).

Fig. 6. The potential barrier effect of the positively charged p-Si colloids at the virgin $\text{SrO}\cdot6\text{Fe}_2\text{O}_3$ interfaces (scan rate: 10mV/s, 5th scan, surface area: 5.5cm²).

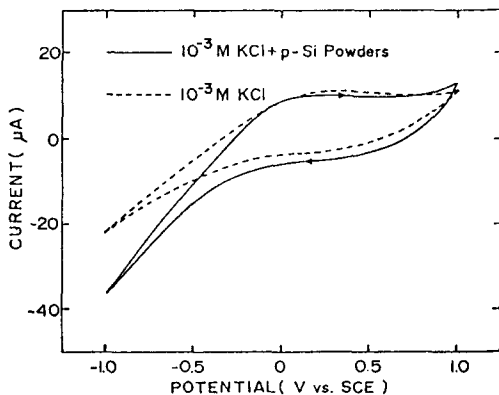


그림 7. 자화된 $\text{SrO}\cdot6\text{Fe}_2\text{O}_3$ 계면에서 양으로 대전된 p-Si 콜로이드의 전위장벽 청소효과(스캔율: 10mV/s, 5번째 스캔, 표면적: 5.5cm²).

Fig. 7. The potential barrier scavenging effect of the positively charged p-Si colloids at the magnetized $\text{SrO}\cdot6\text{Fe}_2\text{O}_3$ interfaces (scan rate: 10mV/s, 5th scan, surface area: 5.5cm²).

CsNO_3 수성전해질과 H_2O 에서 모든 순환전압도는類似한 모양, 즉 양극 과정에서 양극전류 감소 및 비선형성 심화현상과 음극과정에서 음극전류 증가 및 비선형성 둔화현상이다. 따라서, 特異吸着은 KCl 및 CsNO_3 수성전해질과 H_2O 에 공통적으로 포함된 OH^- 음이온에 의하여 이루어진다고 추정할 수 있다.

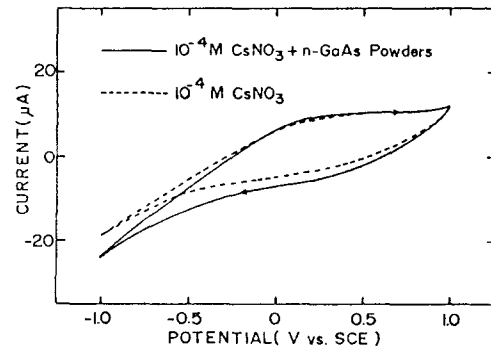


그림 8. 자화된 $\text{SrO}\cdot6\text{Fe}_2\text{O}_3$ 계면에서 음으로 대전된 n-GaAs 콜로이드의 전위장벽 청소효과(스캔율: 10mV/s, 5번째 스캔, 표면적: 5.5cm²).

Fig. 8. The potential barrier scavenging effect of the negatively charged n-GaAs colloids at the magnetized $\text{SrO}\cdot6\text{Fe}_2\text{O}_3$ interfaces (scan rate: 10mV/s, 5th scan, surface area: 5.5cm²).

일반적으로界面電流(I)는 다음과 같은 電流成分으로 구성된다.

$$I = I_c + I_f = C \frac{dV}{dt} + I_f \quad (3)$$

여기서 I_c 는 충전전류, I_f 는 Faraday 전류, C 는 전기

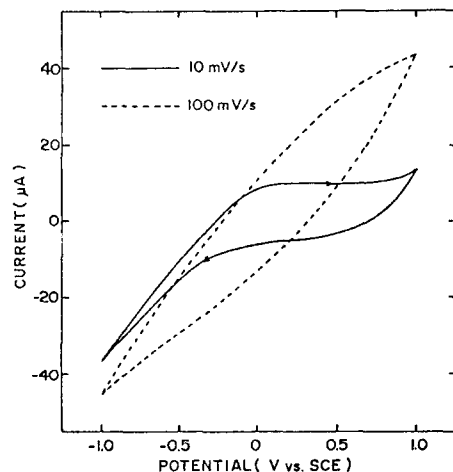


그림 9. 자화된 $\text{SrO}\cdot6\text{Fe}_2\text{O}_3$ 와 ($10^{-3}\text{M KCl} + \text{p-Si}$ 분말) 계면에서 전기이중층 충전효과(11번째 스캔, 표면적: 5.5cm²).

Fig. 9. The charging effect of the electrical double layers at the magnetized $\text{SrO}\cdot6\text{Fe}_2\text{O}_3$ ($10^{-3}\text{M KCl} + \text{p-Si}$ powders) interfaces (11th scan, surface area: 5.5cm²).

이중층내의 총 전기용량, dV/dt 는 시간에 대한 전압 변화율(스캔율)이다. 그림9는 스캔율을 10mV/s에서 100mV/s로 증가시켰을 때 충전전류의 변화를 보여준다. 따라서, 처녀 및 자화된 $\text{SrO}\cdot\text{6Fe}_2\text{O}_3$ 전극 계면에 형성된 전기이중층의 총전기용량 효과는 양극 과정일때 特異吸着된 음이온(OH^-)에 의하여 최대화 된다고 해석할 수 있다.

V. 結 論

處女 및 磁化된 $\text{SrO}\cdot\text{6Fe}_2\text{O}_3$ 전극계면에서 電極過程은 유사하다. OH^- 음이온은 處女 및 磁化된 $\text{SrO}\cdot\text{6Fe}_2\text{O}_3$ 표면에 特異吸着을 한다. 대전된 콜로이드 반도체도 Lorentz 힘에 의하여 原子系 입자(전자, 이온 등)와 같은 電磁氣的 운동을 한다. 磁化 효과는 수성전해질 계면에서 전위장벽 작용을 한다. 대전된 p-Si 및 n-GaAs 콜로이드 반도체는 處女 $\text{SrO}\cdot\text{6Fe}_2\text{O}_3$ 전극계면에서 차폐 또는 전위장벽 작용을 한다. 반면에 대전된 p-Si 및 n-GaAs 콜로이드 반도체는 磁化된 $\text{SrO}\cdot\text{6Fe}_2\text{O}_3$ 계면에서 전위장벽 청소작용을 한다. 磁化효과와 대전된 콜로이드 반도체 효과는 非可逆의이며 相互依存의이다. 磁化된 계면에서 대전된 콜로이드 반도체의 청소효과는 學際間(물리 전자공학, 생체전자공학, 표면물리화학, 전기화학, 재료 및 콜로이드 과학, 생리학) 기초 및 응용 연구에 광범위하게 이용될 수 있다.

參 考 文 獻

- [1] K.H. Hellwege and A.M. Hellwege, Ed., "Numerical data and functional relationships

in science and technology," Springer-Verlag, Berlin, vol. 4, pp. 557-566, 1970.

- [2] A.J. Moulson and J.M. Herbert, "Electrocermamics," Chapman and Hall, London, pp. 421-426, 1990.
- [3] 千長鎬, 趙銀皓, 羅克煥, 電子工學會 論文誌 (제출중), 1991.
- [4] J.H. Chun, J. Colloid Interface Sci., 113, 292, 1986.
- [5] J.H. Chun, J. Electrochem. Soc., 134, 3201, 1987.
- [6] 千長鎬, 電子工學會 論文誌, 25卷 10號, 69, 1988
- [7] M. Gratzel, Acc. Chem. Res., 14, 376, 1981.
- [8] M. Gratzel and A.J. Frank, J. Phys. Chem., 86, 2964, 1982.
- [9] M. Gratzel, In "Photoelectrochemistry, photocatalysis and photoreactors," M.Schiavellio ed., Reidel, Dordrecht, pp. 217-238, 1985.
- [10] R.J. Hunter, "Zeta potential in colloid science," Academic Press, London, pp. 59-64, 1981.
- [11] A.Kitahara and A. Watanabe, Ed., "Electrical phenomena at interfaces," Dekker, New York, pp. 102-115, 1984.
- [12] A.J. Moulson and J.M. Herbert, ibid., pp. 163-166, 1990.

감사의 글

본 실험연구에서 사용된 處女 및 磁化된 $\text{SrO}\cdot\text{6Fe}_2\text{O}_3$ 試片 製作을 하여주신 國際 Ceramics의 金光浩 부장님께 깊은 감사를 드립니다.

著 者 紹 介

千 長 鎬 (正會員) 第25卷 第10號 參照

현재 광운대학교 전자공학과
교수